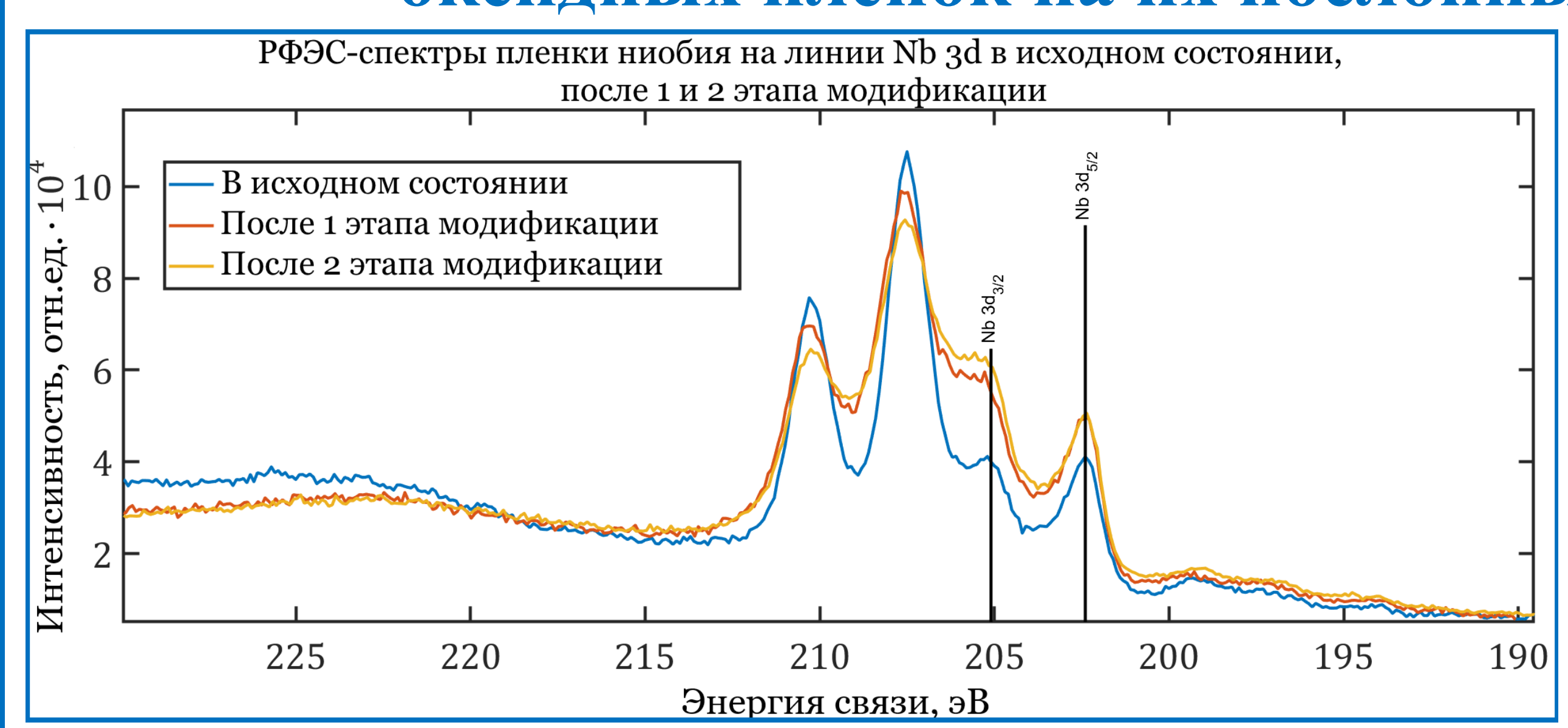
52 Международная Тулиновская конференция по Физике Взаимодействия Заряженных Частиц с Кристаллами

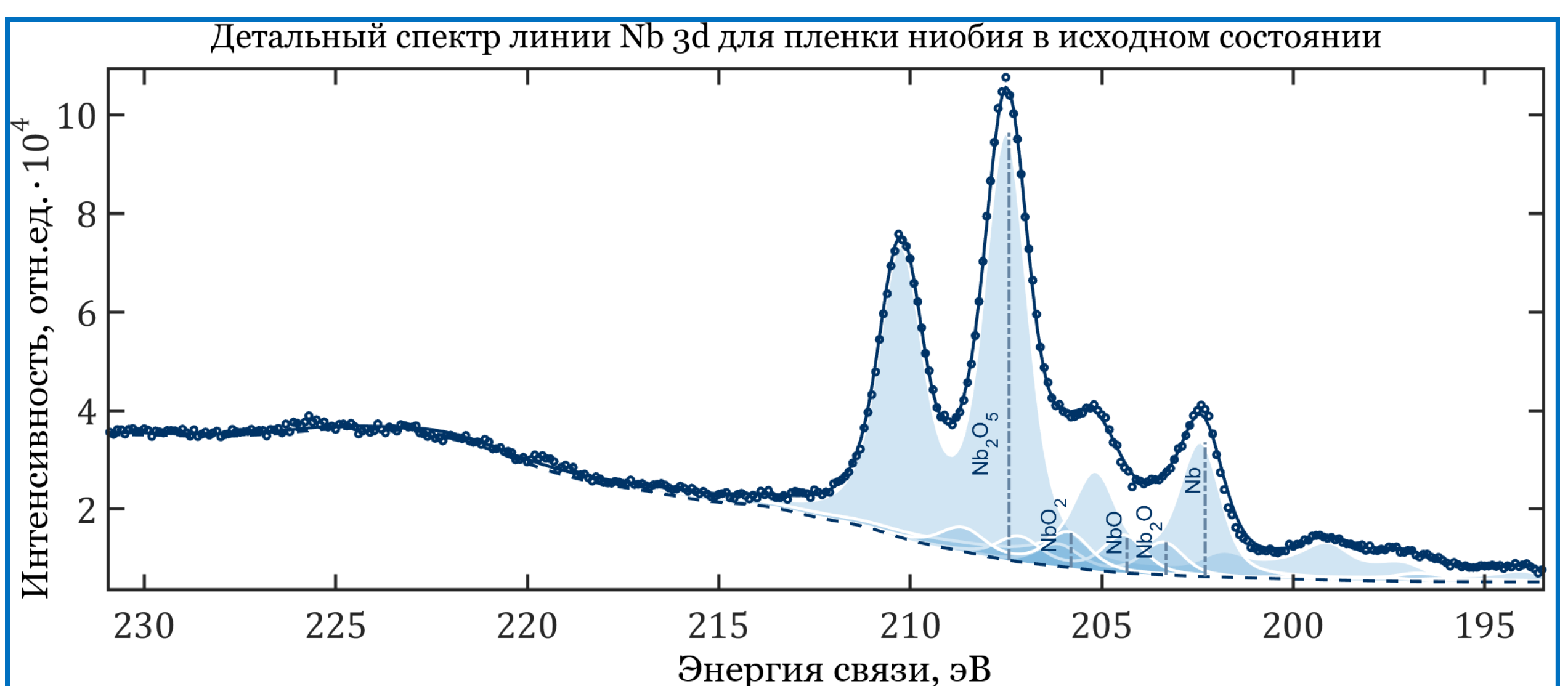


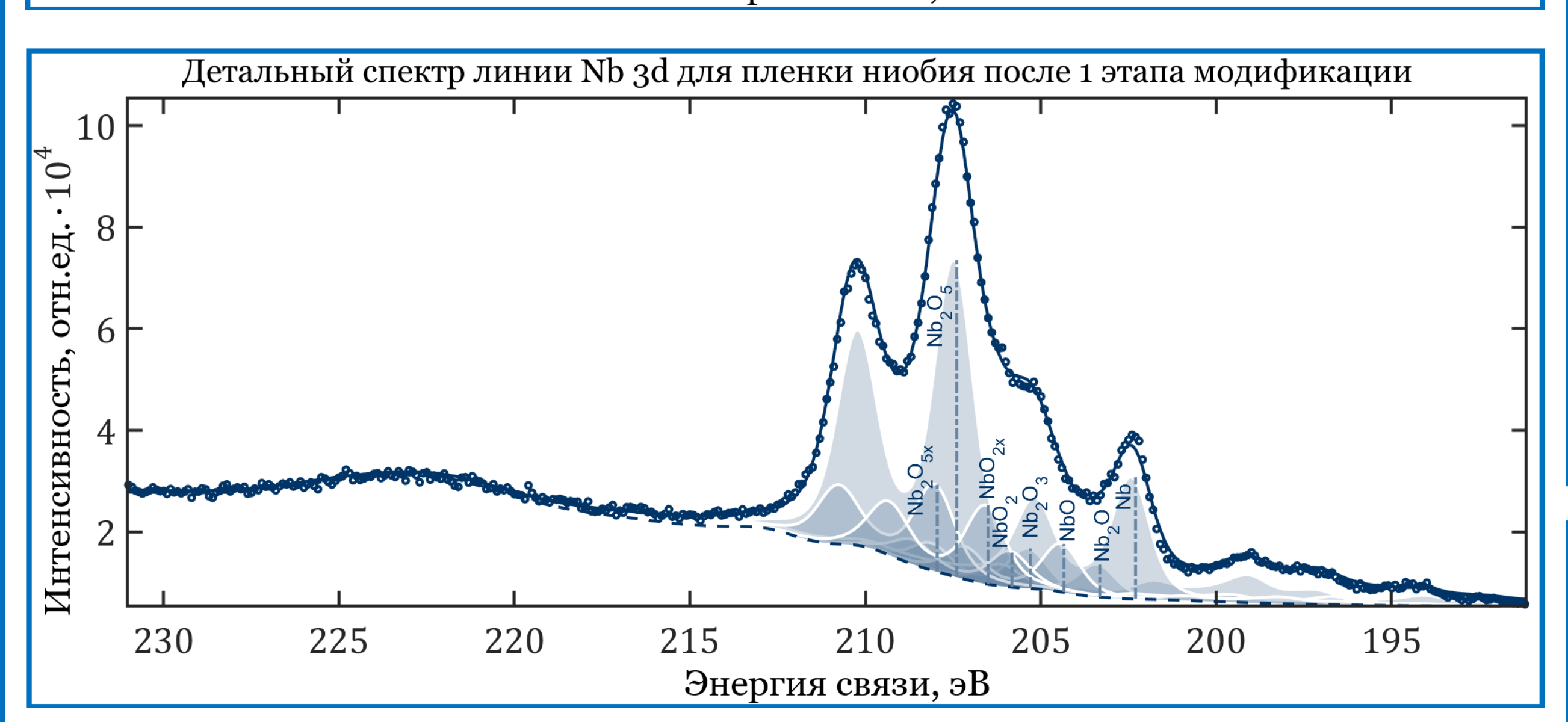
30 мая — 1 июня 2023 год

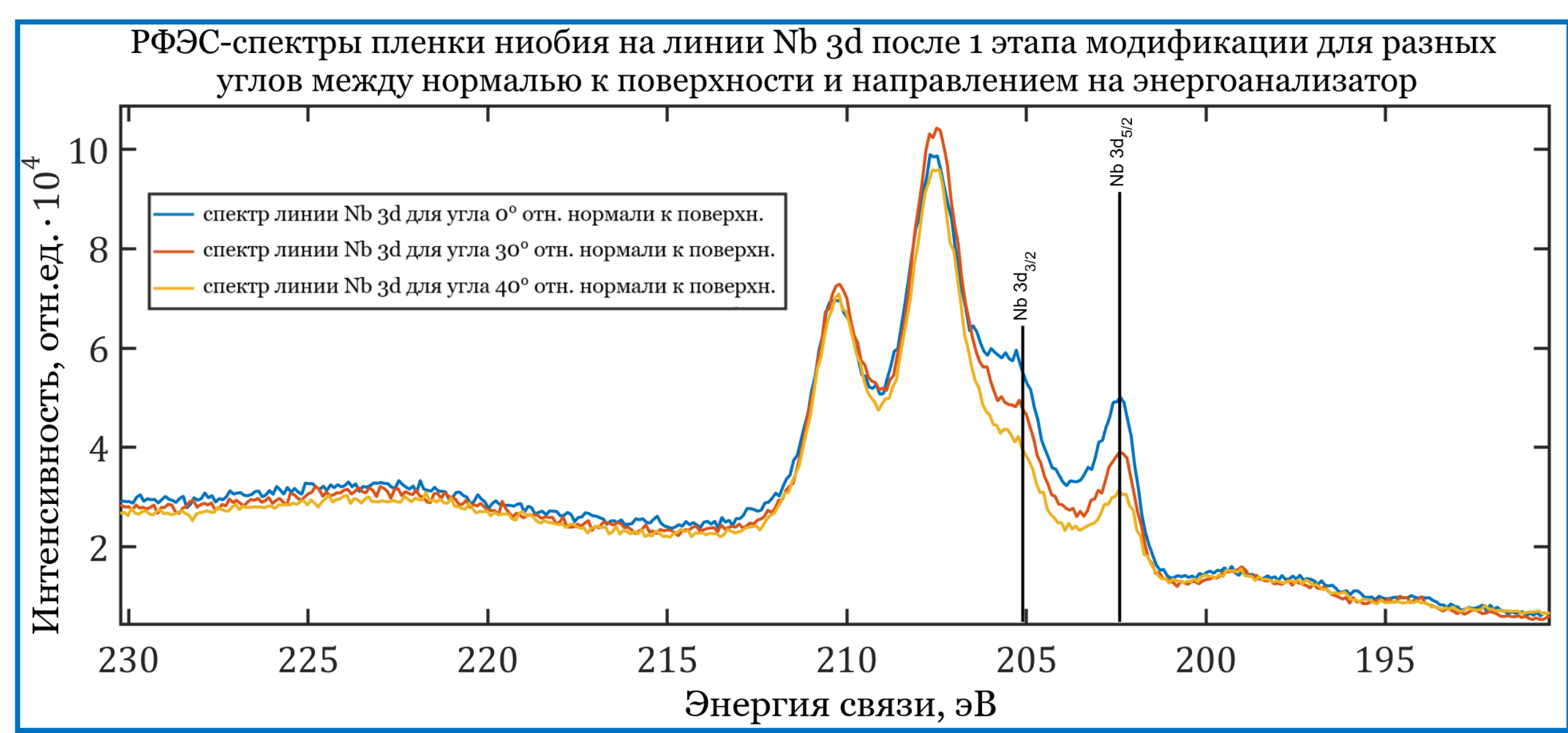
Д.С. Лукьянцев*, А.В. Лубенченко, Д.А. Иванов, О.Н. Павлов *LukyantsevDS@mpei.ru

Влияние слаботочного ионного распыления неоднородных металлоксидных плёнок на их послойный химический состав









Результаты.

В работе исследовано формирование многослойных оксидных и субоксидных слоев на ультратонкой металлической пленке ниобия в несколько этапов ионной модификации её поверхности слаботочным пучком ионов Ar. После каждого этапа проведен послойный фазовый анализ состава поверхности пленки, рассчитаны относительные концентрации хим.элементов, толщины слоёв. Результаты данной работы в последствии могут быть использованы для контролируемого формирования необходимых суобксидных слоёв тонкой плёнки.

Окисленные многослойные тонкие плёнки ниобия применяются для создания мемристивных устройств [1]. Функциональность их работы определяется послойным химическим составом неоднородной окисленной тонкой плёнки, который можно определить с помощью метода рентгеновской фотоэлектронной спектроскопии с угловым разрешением (РФЭС УР). Одним из перспективных способов формирования различных поверхностных слоёв плёнки является пучковое ионное травление [2]. При слаботочном ионном облучении металл-оксидной плёнки происходит преимущественное распыление кислорода, что, в свою очередь, приводит к модификации приповерхностных оксидных слоёв и образования различных субоксидных структур. Подобрав параметры распыления для выбранной плёнки, можно сформировать субоксидные слои на её поверхности, необходимые для корректной работы мемристора.

В настоящей работе исследуется подход формирования субоксидных слоёв тонкой плёнки ниобия посредством многократной модификации её поверхности слаботочным пучком ионов Ar. Пленка ниобия толщиной 50 нм были нанесена на кремниевую подложку методом магнетронного напыления.

Проведено два этапа ионного воздействия длительностью по 20 минут каждый. Модификация пленки проводились направленными ионными пучками Ar в вакуумных условиях с помощью ионной пушки SPECS Ion Source IQE 12/38 (энергия ионов — 0.5 кэВ, угол падения — 70° к нормали, ионный ток — 0.5мкА). Процесс изменения стехиометрии и порядка слоёв контролировался методом РФЭС УР (in situ) для различных углов зондирования 0°, 30° и 40°, отсчитанных от нормали к мишени. Также проведено моделирование процесса взаимодействия ионного пучка с поверхностью плёнки в программном комплексе SRIM [3]. Для разложения рентгеновской фотоэлектронной линии мы использован метод, описанный в [4].

Послойный анализ показывает, что при атмосферном окислении пленок под слоем из высшего оксида формируется переходной слой между высшим оксидом и металлом толщиной порядка 1.5-2 нм. Толщина высшего оксида имеет толщину порядка 4 нм. По результатам послойного анализа методом РФЭС УР и расчета глубины проникновения ионов в программе SRIM определено, что модификация ионами аргона заграгивает только верхний слой высшего оксида, что приводит к образованию на его поверхности субоскидного слоя ниобия. После второго этапа модификации толщина субоксидного слоя возросла пропорционально времени воздействия.

ПОСЛОИНЫИ ФАЗОВЫИ АНАЛИЗ ПЛЕНКИ НИОБИЯ ДО И ПОСЛЕ МОДИФИКАЦИИ (УГОЛ ЗОНДИРОВАНИЯ 0°)											
	До модификации				е I цикла моди (20 мин)		После II цикла модификации (40 мин)				
<u>№</u>	<i>d</i> (нм)	Хим.соел. Е эВ		<i>d</i> (HM)	Хим.соед.	E_{ce} , э B	<i>d</i> (HM)	Хим.соед.	<i>Е_{св}, эВ</i>		
6	3.7	Nb ₂ O ₅	207.4	0.4	0.38 Nb ₂ O ₃ + 0.62 NbO _{2x}	205.3 206.5	0.7	$0.32 \text{ Nb}_2\text{O}_3 + 0.57 \text{ NbO}_{2x} + 0.11 \text{ NbO}_x$	205.3 206.5 204.4		
5 4				1.1 2.5	$\begin{array}{c} \text{Nb}_2\text{O}_{5x} \\ \text{Nb}_2\text{O}_5 \end{array}$	207.9 207.4	1.5 2.3	$\mathrm{Nb_2O_{5x}}$ $\mathrm{Nb_2O_5}$	// //		
3	0.6	0.5 NbO+ 0.5 NbO ₂	204.3 205.8	0.6	0.42 NbO+ 0.58 NbO ₂	<i>//</i> -	0.5	0.42 NbO+ 0.58 NbO ₂	<i>//</i> -		
2	0.8	Nb_2O	203.3	0.9	$\mathrm{Nb_2O}$	//	0.8	${ m Nb_2O}$	//		
1		Nb (3d 5/2)	202.4		Nb (3d 5/2)	//	_	Nb (3d 5/2)	<i>//</i> -		
Sub.	_	SiO ₂ /Si		_	SiO ₂ /Si		_	SiO ₂ /Si			

	Послойный фазовый анализ плёнки ниобия после I этапа									
МОДИФИКАЦИИ ДЛЯ РАЗЛИЧНЫХ УГЛОВ ЗОНДИРОВАНИЯ										
	Угол зондирования 0°				зондирования	я 30°	Угол зондирования 40°			
No	d (HM)	Хим.соед.	E_{cs} , э B	<i>d</i> (нм)	Хим.соед.	E_{cs} , э B	<i>d</i> (нм)	Хим.соед.	E_{cs} , э B	
6	0.4	0.38 Nb ₂ O ₃ + 0.62 NbO _{2x}	205.3 206.5	0.5	0.33 Nb ₂ O ₃ + 0.67 NbO _{2x}	//	0.4	0.33 Nb ₂ O ₃ + 0.67 NbO _{2x}	//	
5	1.1	$\mathrm{Nb_2O_{5x}}$	207.9	1.0	$\mathrm{Nb_2O_{5x}}$	//	1.0	Nb_2O_{5x}	//	
4	2.5	Nb_2O_5	207.4	2.8	Nb_2O_5	//	2.8	$\mathrm{Nb_2O_5}$	//	
3	0.6	0.42 NbO+ 0.58 NbO ₂	204.3 205.8	0.6	0.42 NbO+ 0.58 NbO ₂	//	0.5	$0.42~\mathrm{NbO} + \\ 0.58~\mathrm{NbO}_2$	//	
2	0.9	Nb_2O	203.3	0.8	Nb_2O	//	0.7	Nb_2O	//	
1		Nb (3d 5/2)	202.4		Nb (3d 5/2)	//		Nb (3d 5/2)	//	
Sub.	_	SiO ₂ /Si		_	SiO ₂ /Si		_	SiO ₂ /Si		

Список литературы

- 1. Hota M.K. // J. of Nanosc. and Nanotechn., № 5 (14), C. 3538-3544, 2014.
- 2. Miao F. // ACS nano, T. 6, №. 3, C. 2312-2318, 2012.
- Vitao 1. // Accs hand, 1. 0, №. 3, C. 2512-2516, 2012.
 Ziegler J. F. // N. Instr. and Meth. in Ph. Res., 2010, T. 268, №.11-12, C. 1818-1823.
- 4. Lubenchenko A.V. et al. // Appl. Surf. Sci. 2018. V. 427. P. 711-721